

Ա. Ա. ՍԻՄՈՆՅԱՆ, Թ. Ա. ՍՏԵՓԱՆՅԱՆ

ՀԱՎԻ ՍԱՀՄԻ ԼՅԱՐՊԻ ՄԻՏՈՔՈՆԵՐԻԱՆԵՐՈՒՄ ՕՓՍԻՓԱՅՄԱՆ  
ՊՈԼՅԱՐՈՂՐԱՅԻՆ ՈՒՍՈՒՄՆԱՍԻՐՈՒԹՅՈՒՆԸ ԷՄՔՐԻՈԳԵՆԵՉԻ ԸՆԹԱՑՔՈՒՄ

Հավի սաղմի նորմալ զարգացման համար կարևոր պայման է զաղային փոխանակությունը: Հայտնի է, որ սաղմի կողմից թթվածնի կլանումը զարգացման 10-րդ օրից ուժեղանում է: Այդ շրջանում սաղմն ավելի շատ թթվածին է կլանում, քան այն անհրաժեշտ է արտազատվող  $\text{CO}_2$ -ի առաջացման համար [5]: Բջջիչներում թթվածնի կլանման ուժեղացման հետ միասին ինտենսիվանում են նաև ֆոսֆորիլացման, մակրոէրգերի առաջացման և նրանց ճեղքման պրոցեսները, որի հետևանքով գոյանում է հսկայական քանակությամբ էներգիա [2]: Այդ էկզոթերմիկ սեպիցիանների հետևանքով ինկուբացման 2-րդ կեսից սաղմի մարմնի ջերմաստիճանն սկսում է բարձրանալ և անցնել շրջապատից: Այդ կապակցությամբ մեր նպատակն է եղել ուսումնասիրել հավի սաղմի լյարդի միտոքոնդրիանների շնչառության դինամիկան նրա զարգացման ընթացքում:

Շնչառության մեթոդիկան

Շնչառության ուսումնասիրությունը կատարվել է պոլյարոգրաֆիկ եղանակով: Շնչառությունը պոլյարոգրաֆիկ մեթոդը, որն առաջարկվել է Հեյրաթյանի կողմից [3, 8, 9, 10], այժմ լավ մշակված է և կիրառվում է նաև բիոլոգիական սխեմաների նկատմամբ [4]: Այդ մեթոդի հիմքում ընկած է հոսանքի ուժի չափումը, որն անհրաժեշտ լարվածություն ստեղծելու դեպքում առաջանում է կատոդի վրա թթվածնի վերականգնման ժամանակ: Այդ հոսանքի չափումն ու գրառումը թույլ է տալիս դատելու հեղուկում պարունակվող թթվածնի քանակի մասին: Անալիզի պոլյարոգրաֆիկան մեթոդն աչքի է ընկնում բարձր զգայունությամբ (կտրելի է նյութի քանակը որոշել նույնիսկ  $10^{-3}$  կամ  $10^{-4}\%$  պարունակության դեպքում), չափումների արագությամբ, ավտոմատ գրառումով և վարրուրդի մանոմետրիկ մեթոդի համեմատությամբ՝ հյուսվածքի քիչ ծախսումով: Կարևոր է նաև այն հանգամանքը, որ շնչառության չափումն սկսվում է սխեմայի ավելացումից անմիջապես հետո՝ առանց սպասելու ջերմաստիճանների համասարեցման:

Թթվածնի քանակական որոշման համար մենք օգտագործել ենք պլատինային տատանվող և կալոմելային էլեկտրոդներ: Կալոմելային էլեկտրոդ պատրաստելիս անոթի ստորին մասում լցրել ենք էլեկտրոլիտային մաքուր սևիկ (0,75 սմ բարձրությամբ), նրա մակերևույթին մոտ 1 մմ շերտով՝ կալոմել ( $\text{Hg}_2\text{Cl}_2$ -ի զովարալուծ աղը) և ապա՝  $\text{KCl}$ -ի հաղեցած լուծույթ: Սևիկի մեջ ընկղմել ենք պլատինյա լարը, որը զոդված է ապակյա խողովակի մեջ: Հեղուկային կոնտակտի համար օգտագործել ենք  $\text{KCl}$ -ի հաղեցած լուծույթի մեջ պատրաստված ազար-ազար: Կալոմելային էլեկտրոդի անոթի տրամագիծը

2 սմ-ից չպետք է պակաս լինի, հակառակ դեպքում տեղի է ունենում պոլյարացում և ստացվում են ոչ ճիշտ տվյալներ [6]:

Պլատինային էլեկտրոդի համար օգտագործել ենք պլատինի 0,3—0,5 մմ տրամագծով 4—5 մմ երկարությամբ [1] լար, որը զտղվել է ապակյա նեղ խողովակի մեջ: Նման զոդումն ունի այն առավելությունը, որ պոլյարոգրաֆիկ բաժակում հետազոտվող լուծույթի մեջ խորատուղված պլատինի երկարությունը բոլոր գեպերում մնում է անփոփոխ:

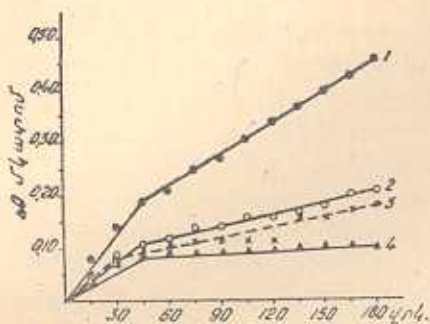
Էլեկտրոդը տատանելու համար օգտագործել ենք երկաթի ապակեպատ կարճ լար, որը պոլյարոգրաֆիկ բաժակում պտտվել է մագնիսական խառնիչի օգնությամբ:

Պոլյարոգրաֆիկ եղանակով թթվածնի քանակի որոշման համար կարևոր նշանակություն ունի ուսումնասիրվող լուծույթի կաշուն ջերմաստիճանի պահպանումը: Զերմաստիճանի տատանումն ազդում է սահմանային հոսանքի ուժի վրա. դա բացատրվում է նրանով, որ կինեմատիկական մածուցիկությունը և դիֆուզիայի գործակիցը կախված են ջերմաստիճանից: Մեր փորձում ինկուբացիոն խառնուրդի կաշուն ջերմաստիճանը պահպանվել է պոլյարոգրաֆիկական բաժակները տեղավորող սկավառակի մեջ ջրի անընդհատ շրջապտույտով, որը միացված է հզել ուլտրաթերմոստատի հետ:

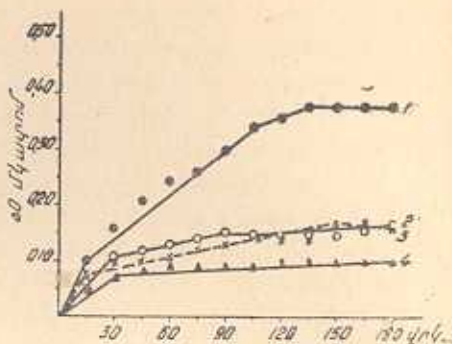
Միտոքոնդրիանների անջատման և նրանց մաքրության որոշման վերաբերյալ մանրամասն նկարագրությունը տրված է մեր նախորդ աշխատությունում [2]: Մեկուսացված միտոքոնդրիաններն ինկուբացրել ենք 3 բույն տեղությունում 26°C-ում: Ինկուբացիոն խառնուրդը պարունակել է՝ օքսիդացման սուբստրատ (սուկցինատ, գլուտամատ կամ  $\alpha$ -կետոգլուտարաթթու) 25 մկմոլ, կալիում ֆոսֆատ՝ 20, KCl-50, MgCl<sub>2</sub>-5, դլյուկոզա՝ 75, ATP-1,5 մկմոլ և 0,25—0,35 մգ բյուրեղական հեքսակինազա (Sigma): Խառնուրդի վերջնական ծավալը 1,0—1,1 մլ է, pH-ը՝ 7,4: Միտոքոնդրիաններն ավելացվել են 250 մգ թարմ հյուսվածքի հաշվով, որը համապատասխանում է 1—2 մգ սպիտակուցի: Ստացված բոլոր տվյալները հաշվել ենք 1 մգ սպիտակուցի վրա. սպիտակուցը որոշել ենք Լուորիի և աշխատակիցների մեթոդով [11]:

### Փորձերի արդյունքները և նրանց քննարկումը

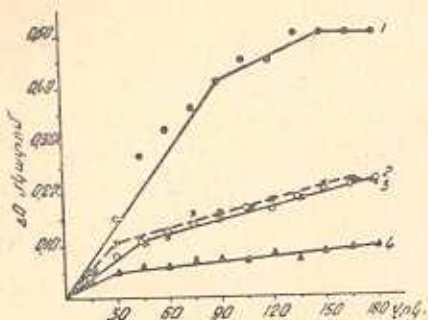
Հետազոտությունների արդյունքները ցույց են տալիս, որ էմբրիոնի լյարդի միտոքոնդրիանների կողմից կլանված թթվածնի քանակը, սկսած զարգացման պոզային շրջանի սկզբից մինչև ճտի դուրս դալը, տարբեր օրերի ընթացքում տատանվում է (գծ. 1—9): Այսպես, օրինակ, սուկցինատի օքսիդացման ժամանակ զարգացման 14—16-րդ օրերի ընթացքում միտոքոնդրիանների շնչառությունը ցածր է, իսկ 17—18-րդ օրերի ընթացքում կլանված թթվածնի քանակը բարձրանում և հասնում է 0,50 մկատոմի: Այնուհետև այն նորից իջնում է մինչև 20-րդ օրը և բարձրանում միայն զարգացման վերջին օրը (0,50 մկատոմ): Հավերի լյարդի միտոքոնդրիանների կողմից կլանված թթվածնի քանակը կազմել է 0,45 մկատոմ: 17-րդ, 18-րդ, ինչպես նաև 21-րդ օրերի ընթացքում միտոքոնդրիանների կողմից թթվածնի կլանումն այնքան ուժեղ է, որ սեպտիոն խառնուրդի ինկուբացման 90-120 վայրկյանի ընթացքում պոլյարոգրաֆիկ բաժակում եղած թթվածինը ամբողջությամբ չուրացվում է նրանց կողմից և փաստորեն շնչառությունը դադարում է՝ շնանելով մինչև ժամկետի վերջը:



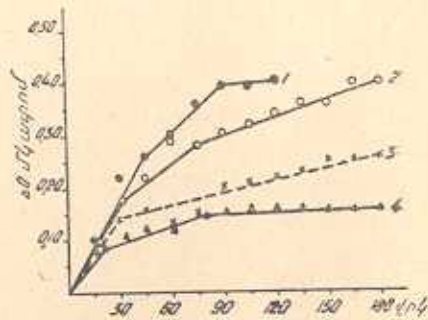
Գծ. 1. 14 օրական սաղմի լյարդի միտոքոնդրիանների շնչառութիւնը: 1-սուկցինատ, 2-գլուտամատ, 3-պիտտուտարատ և 4-էնզոգեն շնչառութիւն\*



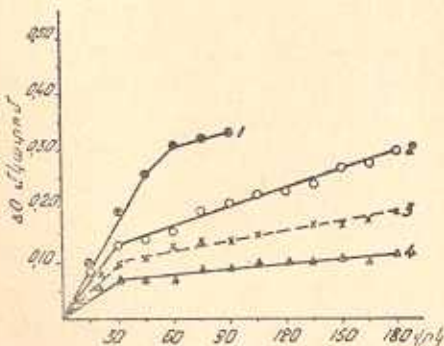
Գծ. 2. 15 օրական սաղմի լյարդի միտոքոնդրիանների շնչառութիւնը



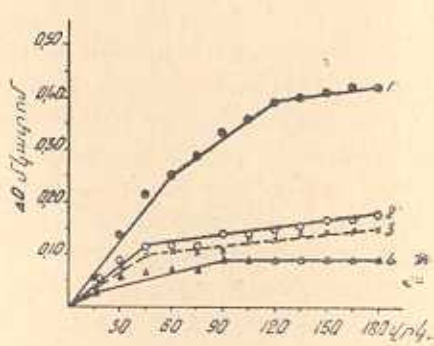
Գծ. 3. 16 օրական սաղմի լյարդի միտոքոնդրիանների շնչառութիւնը



Գծ. 4. 17 օրական սաղմի լյարդի միտոքոնդրիանների շնչառութիւնը



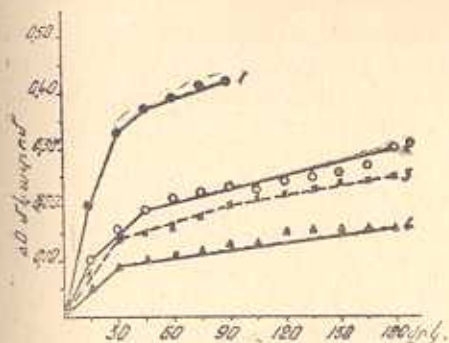
Գծ. 5. 18 օրական սաղմի լյարդի միտոքոնդրիանների շնչառութիւնը



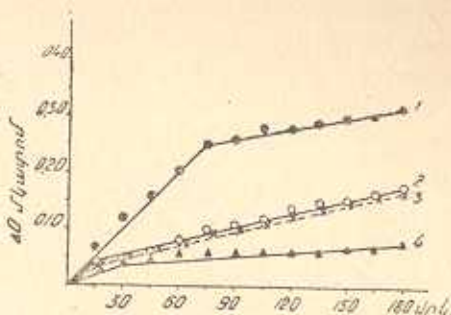
Գծ. 6. 20 օրական սաղմի լյարդի միտոքոնդրիանների շնչառութիւնը

\* 2-9 գծադրերի նշանակումները նույնն են

Որք օքսիդացման սուբստրատը վերցված է զլուտամինաթիուն սաղմի զարգացման 14—16-րդ օրերի ընթացքում, միտոքոնդրիաների շնչառությունը նույնպես ցածր է և բարձրանում է 17—18-րդ օրերի ընթացքում՝ կլանված թթվածնի քանակը հասնում է մինչև 0,40 մկատոմի: Շնչառության մակար-գակը այնուհետև իջնում է և բարձրանում միայն 21-րդ օրը:



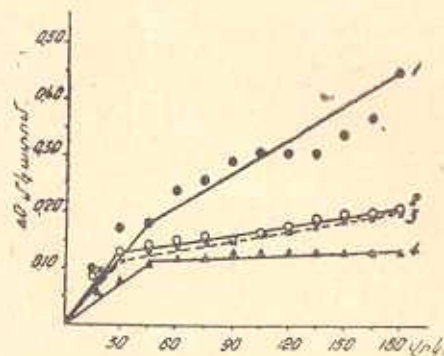
Գծ. 7. 21 օրական սաղմի լյարդի միտոքոնդրիաների շնչառությունը:



Գծ. 8. 1 օրական ճտի լյարդի միտոքոնդրիաների շնչառությունը:

Միտոքոնդրիաների շնչառությունը նման զինամիկայով ընթանում է նաև ա-կետոգլուտարաթթվի մասնակցությամբ:

Հետազոտությունները ցույց են տալիս, որ միտոքոնդրիաների էնզոզեն շնչառությունը էմբրիոնալ զարգացման պոզային շրջանի սկզբում նույնպես ցածր է, որից հետո որոշ տասանումներով բարձրանում է մինչև ճտի զուրս գալը: Գծագրերից երևում է նաև, որ ստղմի լյարդի միտոքոնդրիաներում անհամեմատ լավ օքսիդանում է սուկցինատը, այնուհետև զլուտամատը՝ և ա-կետոգլուտարաթթուն: Պետք է նշել, որ ինկուբացման առանձին օրերի ընթացքում ա-կետոգլուտարաթթվի օքսիդացումը միտոքոնդրիաներում միայն շատ քիչ չափով է ետ մնում զլուտամատից:

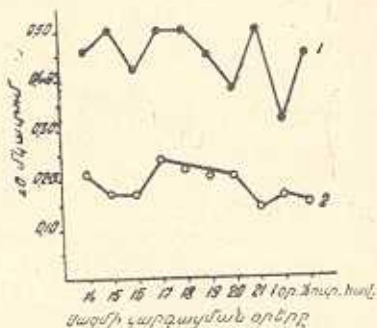


Գծ. 9. Հավի լյարդի միտոքոնդրիաների շնչառությունը:

Գծագրերից երևում է նաև, որ ինկուբացման 3 րոպեի ընթացքում պոլյարոգրաֆիկ բաժակում միտոքոնդրիաների կողմից թթվածնի կլանումը անհամեմատ ուժեղ ընթանում է առաջին 30—60 վայրկյանի ընթացքում, որից հետո կորը որոշ չափով իջնում է և համաչափ ընթանում մինչև խառնուրդի ինկուբացման վերջը:

Մենք ուսումնասիրել ենք նաև լյարդի միտոքոնդրիաների շնչառական կոնտրոլը էմբրիոնալ զարգացման ընթացքում (գծ. 10, 11): Գրականության մեջ տվյալներ կան այն մասին, որ հեքսոկինազան, ինչպես նաև ֆոսֆորիլաց-մանը մասնակցող մյուս նյութերը՝ ATP, անօրգանական ֆոսֆատը հանդի-սանում են կանոնավորիչ սխեման՝ ֆոսֆորիլացող և ազատ օքսիդացման միջև: Ռեակցիոն խառնուրդից հանելով ATP, P կամ հեքսոկինազան, իջնում է թրթ-

վածնի կլանման մակարդակը: Շնչառության խթանումը ֆոսֆատի ակցեպատր-  
ներով՝ ընդունված է անվանել շնչառական կոնտրոլ: Շնչառական կոնտրոլի  
մեծությունը արտահայտվում է միտոքոնդրիանների կողմից ֆոսֆատի և իր  
ակցեպատրների մասնակցությամբ կլանված թթվածնի և առանց ակցեպատր-  
ների կլանված թթվածնի հարաբերությամբ: Շնչառական կոնտրոլը բնորոշում  
է կենդանի բջջի՝ նրա կողմից թթվածնի կլանման կանոնավորման ընդունա-  
կությունը՝ կապված է ներզիրայով հարուստ միացությունների առաջացման հետ:  
Հավի էմբրիոնի լյարդի միտոքոնդրիանների շնչառական կոնտրոլի գործակիցը  
սաղմի զարգացման 14-րդ օրից մինչև ճափ դուրս գալը տարբեր օրերի ընթաց-



Գծ. 10. Հավի սաղմի լյարդի միտոքոնդրիանների շնչառության զինամիկան նրա զարգացման ընթացքում լրիվ՝ սեակցիոն խառնուրդի և ֆոսֆատի ակցեպատրների բացակայության պայմաններում: 1—լրիվ սեակցիոն խառնուրդ (սուբստրատ՝ սուկցինատ): 2—առանց ATP, P և հեքսոկինազայի:



Գծ. 11. Սաղմի լյարդի միտոքոնդրիանների շնչառական կոնտրոլը էմբրիոգենեզի ընթացքում (սուբստրատ՝ սուկցինատ):

քում տատանվում է 1,8—2,4-ի միջև: Պտղային շրջանի սկզբում այն համեմատաբար բարձր է, իսկ այնուհետև շնչին շափով փոքրանում է և այդ ձևով պահպանվում մինչև զարգացման վերջը:

Այսպիսով, հավի էմբրիոնալ զարգացման ընթացքում բջջային շնչառության վերաբերյալ մեր ստացած տվյալները լրացնում են գրականության մեջ եղած՝ ընտանի թռչունների գազափոխանակության վերաբերյալ հետազոտությունները [11, 12]: Այդ հետազոտություններով ցույց է տրված, որ էմբրիոնալ զարգացման 2-րդ կեսից մինչև ճտերի երկու շաբաթական հասակը մարմնի մեկ միավոր մասսային ընկնող շնչառությունը պրոգրեսիվորեն աճում է մինչև ճափ 60—70 դ գառնալը, որից հետո թթվածնի կլանումը կայունանում է: էմբրիոնի շնչառությունն ուժեղանում է հատկապես զարգացման վերջին օրվա ընթացքում, որը համընկնում է ալանտոսային շնչառության թորայինին անցնելու շրջանին: Մեր հետազոտությունները հաստատում են, որ շնչառության նման զինամիկան էմբրիոնալ շրջանում սերտորեն կապվում է ներբջջային շնչառության հետ և պայմանավորված է նրանով: Շնչառության ուժեղացումը այդ շրջանում հանդիսանում է սաղմի կողմից ճարպերի ինտենսիվ օդտազորման, հիպոթալամուս-հիպոֆիզար սխտանի լրիվ կազմավորման ու զարգացման, հումորալ ակտիվատորների ինտենսիվ գործունեության արդյունքը [11]:

А. А. СИМОНЯН, Р. А. СТЕПАНЯН

ПОЛЯРОГРАФИЧЕСКОЕ ИЗУЧЕНИЕ ОКИСЛЕНИЯ  
В МИТОХОНДРИЯХ ПЕЧЕНИ КУРИНОГО ЭМБРИОНА  
В ТЕЧЕНИЕ ЭМБРИОГЕНЕЗА

Резюме

Полярнографическим методом [3—6] нами изучено окисление в митохондриях печени куриного эмбриона. Субстраты окисления—сукцинат, глутамат и  $\alpha$ -кетоглутарат. Наши исследования показывают, что по мере эмбрионального развития до вылупления цыпленка поглощение кислорода митохондриями печени усиливается. Усиленное дыхание митохондриями со второй половины эмбрионального развития связывается с интенсивным использованием липидов эмбрионом, окончательным образованием гипоталамо-гипофизарной системы и активным действием гуморальных активаторов [11]. Наши исследования дополняют имеющиеся в литературе данные о газообмене домашних птиц [11, 12].

Չ Բ Ո Ւ Շ Ն Ե Ր Բ Յ Ո Ւ Ն

1. Алимарин И. П., Фрид Б. И. Заводская лаборатория, 18, 11, 1303, 1952.
2. Бунятыан Г. Х., Симонян А. А. ДАН АрмССР, 2, 1965.
3. Гейровский Я. Полярнографический метод. Теория и практическое применение. ОНТИ, М., 1937.
4. Кольтгоф И. М., Лингейн Дж. Дж. Полярнография, Госхимиздат, М.—Л., 1948.
5. Кржишковский К. Н. Физиология сельскохозяйственных птиц. Сельхозгиз, 1933.
6. Солягина О. А. Амперметрическое титрование в анализе минерального сырья. Госгеолтехиздат, М., 1957.
7. Beattie J., Freeman B. M. Brit. Poultry Sci., 3, 1, 51, 1962.
8. Heyrovsky J. Chem. Listy., 16, 256, 1922.
9. Heyrovsky J. Polarographie in der Buch W. Böttger, Physikalische Methoden der analytischen chemie, 2 Teil, Leipzig, 1936.
10. Heyrovsky J. Chikata M., Rec. Trav. Chem., 44, 496, 1925.
11. Lowry O., Rosebrough N., Farr A. and Randall R. J. Biol. Chem., 193, 265, 1951.
12. Freeman B. M. Brit. Poultry Sci., 3, 2, 63, 1962.